

تخمین فشار در فرایند شکل‌دهی هیدرولیکی ورق‌های فلزی با روش تحلیل کران بالا

احمد خاصم‌پور (دانشیار)

محمد رضا آمامی (دانشجوی کارشناسی ارشد)
دانشکده‌ی مهندسی مکانیک، دانشگاه صنعتی شریف

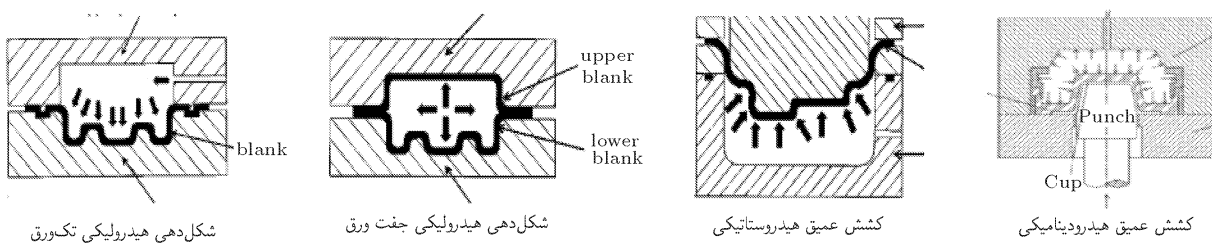
فرایند شکل‌دهی هیدرولیکی یکی از فرایندهای شکل‌دهی فلزات است که در ابتدا برای ساخت قطعات توخالی تحت فشار سیال به کار گرفته می‌شود. پارامتر اساسی در این فرایند کنترل فشار سیال است. این نوشتار به تخمین فشار در فرایند شکل‌دهی هیدرولیکی یک جفت ورق فلزی می‌پردازد. پس از به دست آوردن میدان سرعت سازگار سینماتیکی، با کمک روش تحلیل کران بالا معادله‌ی فشار به دست می‌آید. اثرات پارامترهای کارسختی، اصطکاک، ابعاد قطعه‌ی خام^۱ و همچنین شرایط اتساع در داخل حفره‌ی قالب در نظر گرفته شده‌اند. معادله‌ی تخمین فشار به دست آمده برای هر نوع هندسه‌یی به شرط آنکه بتوان هندسه‌ی لحظه‌یی ورق در منطقه‌ی حفره‌ی قالب را به صورت تحلیلی بیان کرد، کاربرد دارد. بهمنظور ارزیابی روابط به دست آمده، این معادلات برای تخمین فشار در مورد یک قطعه‌ی نیم‌کروی به کار گرفته شده‌اند. نتایج به دست آمده از این کار با نتایج تجربی موجود مقایسه شده است.

در این نوشتار به فرایند شکل‌دهی هیدرولیکی یک جفت ورق فلزی بدون درزجوش می‌پردازیم. مزیت اصلی این فرایند بر فرایند شکل‌دهی هیدرولیکی تکورق در قابلیت شکل‌دهی یک جفت ورق به طور همزمان و همچنین قابلیت شکل‌دهی قطعات پوسته‌یی مانند بازوئی تعلیق خودرو دریک قالب است. همچنین مزیت اصلی این روش بر روشهای کشش عمیق هیدرولستاتیکی و هیدرودینامیکی، استفاده از سیال به جای پانچ صلب و توزیع یکنواخت‌تر فشار و ضخامت در قطعه‌ی شکل‌بافته است.

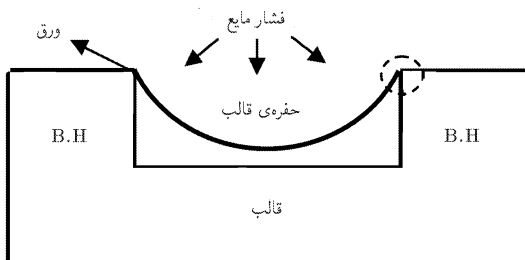
تحقیقات در زمینه‌ی این روش روز به روز افزایش می‌یابد و محققان می‌کوشند تا اثرات پارامترهای مختلف بر این فرایند را به طور دقیق معین کنند. در این میان تحقیقات در زمینه‌ی تخمین فشار مورد نیاز برای شکل‌دهی قطعات، به منظور اعمال کنترل بر فرایند جایگاه ویژه‌ی دارد. همین یک مدل تحلیلی ساده برای تخمین فشار بر قطعات دلخواه در فرایند شکل‌دهی هیدرولیکی جفت‌ورق ارائه داد.^[۲] او در کار خود اثر

مقدمه

شکل‌دهی هیدرولیکی فرایندی جهت شکل‌دهی قطعات توخالی به کمک فشار سیال و قالب است. کاربرد این فرایند خصوصاً در خودروسازی کاربرد روبه افزایش دارد. مهم‌ترین مزیت این روش شکل‌دهی دست‌یابی به نسبت استحکام به وزن بالا در قطعات تولیدی در این روش است. در ابتدا این فرایند فقط برای تولید قطعات تیوب شکل به کار می‌رفت، ولی به مرور زمان قطعات ورقی شکل، مانند بدنه‌ی خودرو، نیز در دامنه‌ی تولیدات این روش قرار گرفت. شکل‌دهی هیدرولیکی ورق‌های فلزی عمدتاً ^۴ نوع است که شامل کشش عمیق هیدرولستاتیکی، کشش عمیق هیدرودینامیکی، شکل‌دهی تکورق با فشار بالای داخلی (شکل‌دهی هیدرولیکی تکورق) و شکل‌دهی جفت‌ورق با فشار بالای داخلی (شکل‌دهی هیدرولیکی جفت‌ورق) است.^[۱] شکل ۱ شماتیک کلی فرایندهای شکل‌دهی هیدرولیکی ورق‌های فلزی را نشان می‌دهد.



شکل ۱. شماتیک کلی فرایندهای شکل‌دهی هیدرولیکی ورق‌های فلزی.^{[۱][۲]}

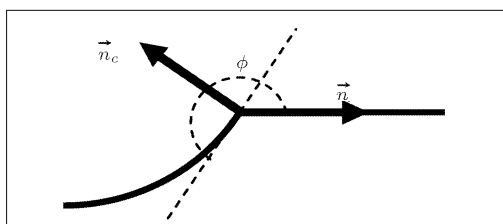


شکل ۲. شماتیک کلی یک نیمه از قالب در فرایند شکل دهی هیدرولیکی جفت ورق.

الف) تغییر شکل خمیری فلزی که روی لبهٔ حفرهٔ قالب قرار دارد به صورت تغییر شکل پوشی در سطح ناپیوستگی سرعت که به صورت یک لبهٔ تیز مدل شده است صورت می‌گیرد (از خم لبهٔ قالب صرف نظر شده است؛ با تغییر شکل خمیری ناحیهٔ بال به صورت دو بعدی (کرنش صفحه‌بین) صورت می‌گیرد و از کرنش ضخامتی در ناحیهٔ بال صرف نظر شده است؛ ج) تغییر شکل ورق به صورت خمیری با قابلیت کارسختی در نظر گرفته شده است (از تغییر شکل کشسانی صرف نظر می‌شود؛ د) چارگفتگی ورق در ناحیهٔ حفرهٔ قالب به صورت یکنواخت در تمام نقاط آن انجام می‌شود، برای شروع کار باید بتوان یک مدل تحلیلی برای بیان سطح لحاظی ورق تغییر شکل یافته در ناحیهٔ حفرهٔ قالب، در مختصات استوانه‌بیی یافت.

$$F(r, \theta, z) = 0 \quad (1)$$

مسئله‌ی قابل توجه در فرایند شکل دهی هیدرولیکی تکورن و جفت ورق در بیان معادلهٔ فوق برخلاف فرایند کشش عمیق هیدرودینامیکی [۱۰] این است که در اینجا با پیشرفت فرایند در هر لحظه هندسهٔ ورق تغییر می‌کند و لذا باید در هر مرحله معادلهٔ جدید برای هندسهٔ ورق تغییر شکل یافته به دست آورد. حال آنکه در کشش عمیق هیدرومکانیکی، هندسهٔ ورق تغییر شکل یافته تابع شکل پانچ صلب با هندسهٔ ثابت است. به عبارت دیگر از آنچه که تابع F در هر لحظه تغییر می‌کند، مقادیر پارامترهای واپسی به تابع F تغییر می‌کنند که در حین محاسبات میدان سرعت باید آن را مد نظر داشت. با توجه به شکل‌های ۳ و ۴ فرض می‌شود که ضخامت ورق در فاصله‌ی از ورودی و خروجی لبهٔ ناپیوستگی سرعت برابر باشد؛ [۱۰]



شکل ۳. بردارهای واحد نرمال در لبهٔ حفرهٔ قالب.

اصطکاک را مد نظر قرار داد و تنش سیلان را به صورت متوسط در نظر گرفت. ه. م. شنگ نیز در مقاله‌ی که در زمینهٔ فرایند بالج ارائه داد، اثر تغییر شرایط سیلان مواد به درون حفرهٔ قالب بر فشار سیلان مورد نیاز را به منظور شکل دهی قطعه‌ی نیمکروی را مورد بررسی قرار داد. [۱۱] در این نوشتار محاسبات بر پایهٔ روابط هندسی صورت گرفته است. محققان روش کران بالا را برای تخمین فشار در فرایند کشش عمیق هیدرودینامیکی برای قطعاتی که بتوان هندسهٔ پانچ را به صورت تحلیلی بیان کرد، به کار گرفتند. [۱۲] آنان در کار خود اثر پارامترهای کارسختی، اصطکاک و ابعاد قطعهٔ خام را بر فشار سیلان مورد بررسی قرار دادند و در کار خود از تغییر ضخامت ورق در ناحیهٔ بال صرف نظر کردند. عاصم پور و باقرزاده روش کران بالا را در فرایند کشش عمیق هیدرودینامیکی برای قطعاتی که بتوان هندسهٔ پانچ را به صورت تحلیلی بیان کرد، به کار گرفتند. [۱۳] و اثر کارسختی، اصطکاک و ابعاد قطعهٔ خام را در کار خود در نظر گرفتند. آنها همچنین اثر تغییرات ضخامت در ناحیهٔ فلنچ را نیز وارد محاسبات کردند. نتیجه‌ی کار ایشان بیانگر این مسئله بود که تغییرات ضخامت در ناحیهٔ بال تأثیر زیادی در میزان فشار سیلان مورد نیاز برای شکل دهی ندارد.

در این نوشتار روش کران بالا برای تحلیل فرایند شکل دهی هیدرولیکی جفت ورق فلزی به کار گرفته شده است. از تغییرات ضخامت ورق در ناحیهٔ بال صرف نظر شده است. تفاوت کار حاضر با کار تجربی موجود [۱۰] در چند مسئله است: اولاً در اینجا پانچ صلب وجود ندارد و سیال به عنوان پانچ عمل می‌کند. لذا هندسهٔ لحظی ورق در ناحیهٔ حفرهٔ قالب که تابع سیال است، در هر لحظه متغیر است؛ ثانیاً در کشش عمیق هیدرودینامیکی پس از چسبیدن ورق به سطح پانچ صلب، فرض بدون تغییر شکل ماندن ورق چسبیده به پانچ در مراحل بعدی فرایند وجود دارد، ولی در اینجا ورق در ناحیهٔ حفرهٔ قالب و در تماس با سیال چارگفتگی می‌شود که باید آن را در محاسبات انرژی مصرفی فرایند وارد کرد.

برای محاسبهٔ فشار، ابتدا روابط مربوط به میدان سرعت سینماتیکی استخراج شده و سپس با به کارگیری روش تحلیلی کران بالا و بهینه‌سازی انرژی، میزان فشار مورد نیاز شکل دهی به دست آمده است. اثرات پارامترهای کارسختی، اصطکاک و ابعاد قطعهٔ خام بررسی شده است. نتایج حاصل با نتایج تجربی موجود [۱۰] مقایسه شده است.

میدان سرعت سازگار سینماتیکی در ناحیهٔ بال شکل ۲ شماتیک کلی مقطع نیمی از قالب در فرایند شکل دهی هیدرولیکی جفت ورق را نشان می‌دهد. برای تجزیه و تحلیل فرایند شکل دهی هیدرولیکی فرض‌های ساده‌کنندهٔ زیر در نظر گرفته می‌شود:

به عنوان تقریب و برای ساده‌سازی، اصطلاحات $a_i(r)$ و $b_i(r)$ به صورت خطی انتخاب می‌شوند یعنی $a_i(r) = a_i \cdot r$ و $b_i(r) = b_i \cdot r$. بنابراین مؤلفه‌های سرعت به صورت ساده‌تر زیر درمی‌آیند.

$$u_r = \frac{C(\theta)}{r} + \sum_{i=1}^{\infty} a_i \cdot \cos(i\theta) + \sum_{i=1}^{\infty} b_i \cdot \sin(i\theta)$$

$$u_\theta = -\sum_{i=1}^{\infty} \frac{a_i}{i} \cdot \sin(i\theta) + \sum_{i=1}^{\infty} \frac{b_i}{i} \cdot \cos(i\theta) + b_c \cdot r \quad (5)$$

به این ترتیب میدان سرعت سازگار سینماتیکی برای شکل دهی هیدرولیکی جفت‌ورق، برای قطعات با شکل دلخواه دو یا سه بعدی که در آنها هندسه‌ی لحظه‌ی ورق تغییر شکل یافته در حین فرایند به صورت تحلیلی قابل بیان باشد، به دست می‌آید. معادلات ۵ هم شرط تراکم ناپذیری و هم شرط مرزی را ارضاء می‌کنند. بنابراین معادلات ۵ یک میدان سازگار سینماتیکی به شمار می‌روند.

تعیین میدان فرج کرنش، کرنش و تنش در ناحیه‌ی بال نیز با مشتق‌گیری از میدان سرعت چنین انجام می‌شود:

$$\epsilon_r^* = \frac{du_r}{dr} \quad \epsilon_{ij}^* = \int \dot{\epsilon}_{ij}^* \cdot d(\text{time})$$

$$\epsilon_\theta^* = \frac{u_r}{r} + \frac{1}{r} \frac{\partial u_\theta}{\partial \theta} \quad \sigma = k \cdot (\epsilon^* + \epsilon_c)^n \quad (6)$$

تحلیل کران بالا

پس از به دست آوردن میدان سرعت، نوبت اعمال این میدان در معادلات مربوط به تحلیل کران بالا است. اگر σ_{ij} میدان تنش واقعی، ϵ_{ij}^* میدان فرج کرنش مربوط به آن و σ_{ij}^* میدان تنش تسلیم در حجم ماده باشد، آنگاه رابطه‌ی ۷ برقرار است:

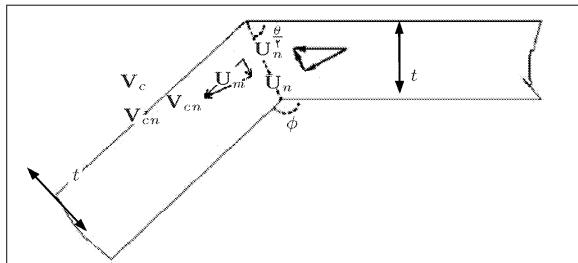
$$\sigma_{ij} \cdot \dot{\epsilon}_{ij}^* \leq \sigma_{ij}^* \cdot \dot{\epsilon}_{ij}^* \quad (7)$$

با انتگرال‌گیری روی حجم و اعمال نظریه‌ی دیورزنس، نامعادله‌ی ۷ به رابطه‌ی کلاسیک کران بالای شماره ۸ تبدیل می‌شود:

$$\int_{S_u} T_i \cdot U_i^* \cdot dS_u \leq \int_V \sigma_{ij}^* \cdot \dot{\epsilon}_{ij}^* \cdot dV - \int_{S_T} T_i \cdot U_i^* \cdot dS_T \quad (8)$$

در بررسی فرایند شکل دهی هیدرولیکی جفت‌ورق، اصطلاح سمت چپ نامعادله‌ی ۸ بیانگر کارانجام شده توسط فشار مایع است. اصطلاح اول سمت راست نامعادله‌ی بیانگر فرج انژی تغییر شکل داخلی در ناحیه‌ی بال و حفره‌ی شامل موارد زیر است:

۱. فرج انژی تغییر شکل داخلی مصرفی در ناحیه‌ی بال، روی حجم V_{fi} (حجم ماده‌ی زیر ورق‌گیر) که بین لبه‌ی ناپیوستگی سرعت و لبه‌ی خارجی قطعه‌ی خام قرار دارد.



شکل ۴. لبه‌ی ناپیوستگی سرعت و مؤلفه‌های سرعت در روی لبه‌ی حفره‌ی قالب.

لذا با توجه به روابط مثلثاتی می‌توان گفت که لبه‌ی ناپیوستگی سرعت نیمساز زویه‌ی ϕ است. بنابراین شبیه لبه‌ی ناپیوستگی سرعت چنین محاسبه می‌شود:

$$\tan(\phi) = \sqrt{\frac{1 - \cos(\phi)}{1 + \cos(\phi)}} = \frac{\sin\phi}{1 + \cos\phi} = \frac{\sqrt{(\frac{\partial F}{\partial r})^2 + (\frac{\lambda}{r} \frac{\partial F}{\partial \theta})^2}}{\sqrt{(\frac{\partial F}{\partial r})^2 + (\frac{\lambda}{r} \frac{\partial F}{\partial \theta})^2 + (\frac{\partial F}{\partial z})^2} - \frac{\partial F}{\partial z}} \quad (2)$$

با نوشتن شرط سازگاری سینماتیکی در روی صفحه‌ی ناپیوستگی سرعت $\frac{\partial u_r}{\partial r} + \frac{1}{r} u_r + \frac{1}{r} \frac{\partial u_\theta}{\partial \theta} = 0$ و شرط تراکم ناپذیری $|u_n| = |v_c|$ (۳) مقدار مؤلفه‌های سرعت روی ناحیه‌ی بال (u_r و u_θ) به دست می‌آید:

$$u_r = \frac{C(\theta)}{r} + \sum_{i=1}^{\infty} \frac{a_i(r)}{r} \cos(i\theta) + \sum_{i=1}^{\infty} \frac{b_i(r)}{r} \sin(i\theta)$$

$$u_\theta = -\sum_{i=1}^{\infty} \frac{da_i(r)}{dr} \frac{\sin(i\theta)}{i} + \sum_{i=1}^{\infty} \frac{db_i(r)}{dr} \frac{\cos(i\theta)}{i} + b_c(r) \quad (3)$$

پارامترهای a_i و b_i پارامترهای بهینه‌سازی‌اند که برای تخمین فشار فرایند به کار می‌روند. با اعمال شرط مرزی سازگاری سینماتیکی، مقدار C به دست می‌آید:

$$C(\theta) = \left[\frac{r \cdot V_c}{(\frac{\partial F}{\partial r})} \right] \cdot \left(\sqrt{(\frac{\partial F}{\partial r})^2 + (\frac{\lambda}{r} \frac{\partial F}{\partial \theta})^2} - r \right)$$

$$\left[\sum_{i=1}^{\infty} \frac{a_i(r)}{r} \cdot \cos(i\theta) + \sum_{i=1}^{\infty} \frac{b_i(r)}{r} \cdot \sin(i\theta) \right] -$$

$$\left[\frac{(\frac{\partial F}{\partial r})}{(\frac{\partial F}{\partial \theta})} \right] \cdot \left[-\sum_{i=1}^{\infty} \frac{da_i(r)}{dr} \frac{\sin(i\theta)}{i} + \sum_{i=1}^{\infty} \frac{db_i(r)}{dr} \frac{\cos(i\theta)}{i} + b_c(r) \right] \quad (4)$$

شکل دهنده به صورت زیر به دست می آید:

$$P_{Max} = \frac{T}{V_d} \left(\int_{V_{fl}} \sigma_{ij}^*. \dot{\epsilon}_{ij}^*. dV_{fl} + \int_{V_{ca}} \sigma_{ij}^*. \dot{\epsilon}_{ij}^*. dV_{ca} \right. \\ \left. + \sum_{i=1}^m \int_{S_{\gamma_i}} (K. \Delta U_i^*. dS_{\gamma_i}) + \int_{S_f} \frac{\mu}{SP_e} (P_{Max}. S_{eff}). U^*. dS_f \right) \quad (12)$$

در بیان معادله ۱۲، از آنجا که معادله را به صورت لحظه‌یی حل می‌کنیم، می‌توان P_{Max} را ثابت فرض کرد و از انتگرال خارج کرد. همچنین فرض می‌شود که بهاری هر افزایش Z (به عنوان مراحل محاسبه‌ی فشار)، زمان بهاندازه‌ی (z) افزایش یابد (یعنی $(T = g(z))$). لذا خواهیم داشت:

$$P_{Max} = \frac{g(z)}{V_d} \left(\int_{V_{fl}} \sigma_{ij}^*. \dot{\epsilon}_{ij}^*. dV_{fl} \right. \\ \left. + \int_{V_{ca}} \sigma_{ij}^*. \dot{\epsilon}_{ij}^*. dV_{ca} + \sum_{i=1}^m \int_{S_{\gamma_i}} (K. \Delta U_i^*. dS_{\gamma_i}) \right) \\ \left. \frac{(1 - \frac{g(z)}{V_d} \mu \int_{S_f} \frac{U^*. S_{eff}}{SP_e} dS_f)}{(1 - \frac{g(z)}{V_d} \mu \int_{S_f} \frac{U^*. S_{eff}}{SP_e} dS_f)} \right) \quad (13)$$

با توجه به شکل ۴، نایپوستگی سرعت به صورت معادله‌ی ۱۴ به دست می‌آید:

$$\Delta U^* = \sqrt{\left(V_c \cdot \sin\left(\frac{\phi}{2}\right)\right)^2 + u_r^2 + u_\theta^2} \quad (14)$$

همچنین المان سطح در نایپوستگی سرعت به صورت معادله‌ی ۱۵ به دست می‌آید.^[۱]

روش حل معادلات

برای حل معادلات به صورت لحظه‌یی عمل می‌کنیم و میزان فشار سیال در هر مرحله را ثابت در نظر می‌گیریم. حجم ورق موجود در ناحیه‌ی حفره‌ی قالب در هر مرحله برابر است با مجموع حجم مواد موجود در مرحله‌ی قبل، و حجم مواد سیلان یافته به حفره‌ی قالب. با فرض آنکه اتساع ورق در ناحیه‌ی حفره‌ی قالب تأثیری بر میزان جریان مواد به درون قالب ندارد، برای محاسبه میدان سرعت در ناحیه‌ی بال می‌توان اثر اتساع ورق در هر مرحله از فرایند را بر هندسه‌ی لحظه‌یی ورق نادیده گرفت.

الگوریتم تخمین فشار سیال در فرایند شکل دهنده هیدرولیکی جفت ورق در شکل ۵ نشان داده شده است. برای تخمین فشار سیال

۲. نخ انرژی تغییر شکل داخلی مصرفی در ناحیه‌ی حفره‌ی قالب، روی حجم V_{ca} (حجم ماده در ناحیه‌ی حفره‌ی قالب) که ناشی از کشش در ناحیه‌ی حفره‌ی قالب است.

اصطلاح دوم نامعادله در سمت راست نامعادله انتگرال سطحی شامل موارد زیر است:

۱. نخ انرژی اضافی به علت وجود نایپوستگی سرعت مماسی ΔU^* روی سطح نایپوستگی سرعت (S_γ) با حداکثر تنش برشی ممکن K . در حالت کلی ممکن است m سطح نایپوستگی سرعت وجود داشته باشد.

۲. نخ انرژی اصطکاکی مصرفی در محل تماس قطعه‌ی کار با قالب که با S_f نشان داده می‌شود. چون در فرایندهای بدون درزجوش، دو ورق روی هم حرکت می‌کنند، علاوه بر اصطکاک میان ورق‌ها و قالب یک نوع سطح اصطکاکی هم بین دو ورق وجود دارد (از آنجاکه در حالتی که دو طرف قالب متقابل آنکه حرکت نسبی بین ورق‌ها ناچیز است؛ از اصطکاک بین ورق‌ها در این شرایط می‌توان صرف نظر کرد).

با توجه به موارد ذکر شده، نامعادله ۸ به نامعادله ۹ تبدیل می‌شود:

$$\frac{PV_d}{T} \leq \int_{V_{fl}} \sigma_{ij}^*. \dot{\epsilon}_{ij}^*. dV_{fl} + \int_{V_{ca}} \sigma_{ij}^*. \dot{\epsilon}_{ij}^*. dV_{ca} + \sum_{i=1}^m \int_{S_{\gamma_i}} (K. \Delta U_i^*. dS_{\gamma_i}) + \int_{S_f} \mu. P_e. U^*. dS_f \quad (9)$$

در محاسبه V_d باید میزان کشش در ناحیه‌ی حفره‌ی قالب را نیز در نظر گرفت، زیرا اصطلاح چپ نامعادله بیانگر کل کار انجام شده است. لذا V_d کل افزایش فضای داخلی حفره‌ی قالب با در نظر گرفتن کشش است. برای محاسبه فشار کل لازم، نامعادله ۹ باید برای هر دو نیمه‌ی قالب به کار گرفته شود. برای تأمین فشار آب بندی قالب باید داشته باشیم:

$$P_e.S_{P_e} > P.S_{eff} \quad (10)$$

لذا حداقل فشار آب بندی مورد نیاز عبارت است از:

$$P_e = \frac{1}{S_{P_e}} (P.S_{eff}) \quad (11)$$

با جایگذاری معادله ۱۱ در نامعادله ۹، رابطه‌ی تخمین فشار

$$dS_\gamma = \frac{\sqrt{t} \cdot r \sqrt{\left(\frac{\partial F}{\partial r}\right)^2 + \left(\frac{\lambda}{r} \frac{\partial F}{\partial \theta}\right)^2 + \left(\frac{\partial F}{\partial z}\right)^2} - \left(\frac{\partial F}{\partial r}\right) \sqrt{\left(\frac{\partial F}{\partial r}\right)^2 + \left(\frac{\lambda}{r} \frac{\partial F}{\partial \theta}\right)^2 + \left(\frac{\partial F}{\partial z}\right)^2}}{\sqrt{\left(\frac{\partial F}{\partial r}\right)^2 + \left(\frac{\lambda}{r} \frac{\partial F}{\partial \theta}\right)^2}} \cdot d\theta \quad (15)$$

تحلیلی امری اساسی در این روش حل است. تغییر حجم فضای حفره‌ی قالب که سیال ورودی را در خود جای می‌دهد ناشی از دو مسئله است: جریان یافتن مواد به درون حفره‌ی قالب از ناحیه‌ی بال، و اتساع ورق در ناحیه‌ی حفره‌ی قالب. همان گونه که در تعیین میدان سرعت بال بیان شد، از آنجا که اتساع ورق در ناحیه‌ی حفره‌ی تأثیری بر میدان سرعت در ناحیه‌ی بال ندارد، در تعیین میدان سرعت باید حجم سیال ناشی از سیلان مواد ورق از ناحیه‌ی بال به درون حفره‌ی قالب را در محاسبات وارد کنیم. از پارامتر γ برای تخمین اثر میزان اتساع ورق در تغییر حجم حفره‌ی قالب استفاده می‌کنیم؛ این پارامتر بیانگر درصد افزایش حجم حفره‌ی قالب ناشی از اتساع ورق در ناحیه‌ی حفره‌ی قالب است. یعنی:

$$V_i' = V_i - \gamma \times V_i \quad (16)$$

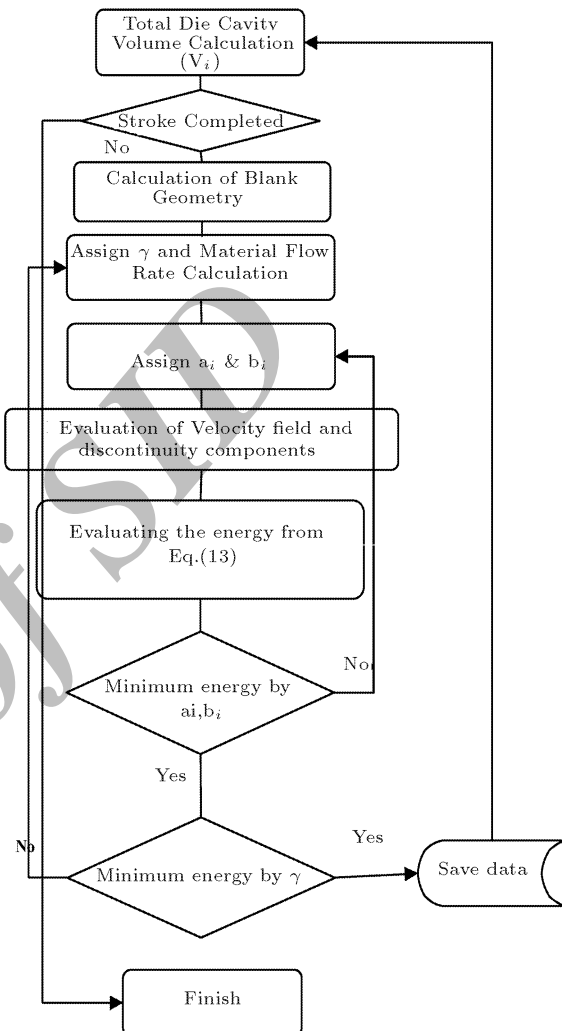
که در آن V_i' افزایش حجم فضای داخل حفره‌ی قالب ناشی از جریان مواد از ناحیه‌ی بال به درون حفره‌ی قالب است. به این ترتیب افزایش حجم سیال درون حفره ناشی از اتساع ورق در حفره‌ی قالب قابل تعیین است.

$$V_i'' = V_i - V_i' \quad (17)$$

V_i'' افزایش حجم حفره‌ی قالب ناشی از اتساع ورق در حفره‌ی قالب است. با توجه به V_i'' می‌توان سرعت مواد در خروجی لبه‌ی نایپوستگی سرعت (V_c) را به دست آورد و به‌کمک روابط گفته شده، میدان سرعت در ناحیه‌ی بال و سطح نایپوستگی سرعت را به دست آورد.

با معلوم بودن مقادیر ضریب اصطکاک و ضریب کارسختی و سایر ورودی‌های مسئله می‌توان مقدار نزخ انرژی مصرفی در ناحیه‌ی بال، نزخ انرژی اصطکاکی و نزخ انرژی اضافی روی سطح نایپوستگی سرعت را با محاسبه‌ی اصطلاحات معادله‌ی ۱۲ به دست آورد.

برای تعیین نزخ انرژی مصرفی ناشی از اتساع درون حفره‌ی قالب لازم است نزخ کرنش ناشی از اتساع ورق در حفره‌ی قالب محاسبه شود. نزخ کرنش با توجه به تغییر حجم سیال ناشی از اتساع (V_i'') یا به عبارت دیگر تغییر حجم فضای حفره از V_i' به V_i'' به این صورت محاسبه می‌شود که هندسه‌ی لحظه‌ی نزخ کرنش هندسه‌ی حفره برای حجم V_i' و V_i'' به دست می‌آید و از طریق این تغییر هندسه‌ی نزخ کرنش به دست می‌آید. با معلوم بودن نزخ کرنش و زمان هر مرحله تغییر شکل، کرنش و به تبع آن تنش ناشی از اتساع در حفره‌ی قالب در هر مرحله



شکل ۵. الگوریتم حل مسئله و تخمین فشار سیال در فرایند شکل‌دهی هیدرولیکی جفت‌ورق بدون درزجوش.

مرحله به مرحله عمل کرده و فرض می‌کنیم مدت زمان هر مرحله T ثانیه باشد.

برای تعیین میدان سرعت در ناحیه‌ی بال باید شرط موزی معنی وجود داشته باشد. در اینجا ما دی (Q) پیمی که سیال را به درون حفره‌ی قالب وارد می‌کند به عنوان ورودی مسئله در نظر می‌گیریم. در آغاز فرایند ورق تخت روی دهانه‌ی قالب قرار دارد، پس از یک مرحله حجمی معادل i ($V_i = Q \times T$) وارد حفره‌ی قالب می‌شود. با توجه به حجم سیال داخل حفره‌ی قالب (V_i) می‌توان معادله‌ی تحلیلی سطح ورق تغییر شکل یافته را به دست آورد. تخمین معادله‌ی

بدون درز جوش متقارن (دو حفره متقارن) است؛ چراکه در اینجا نیز حرکت نسبی بین دو ورق وجود ندارد. تنها نکته‌ی قابل توجه در اینجا تغییر ساختار ورق در ناحیه‌ی جوش است.

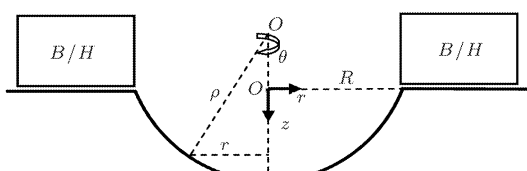
ارزیابی معادلات و بررسی نتایج

به علت عدم وجود نتایج تجربی برای قطعات نیم‌کروی در فرایند شکل دهنی هیدرولیکی جفت ورق، به فرایند شکل دهنی هیدرولیکی تک ورق می‌پردازیم. به عنوان یک مثال ساده، یک قطعه‌ی نیم‌کروی را در نظر می‌گیریم. شماتیک کلی این فرایند در شکل ۶ آورده شده است. یک تقریب نزدیک به واقعیت هندسه‌ی لحظه‌ی حفره‌ی قالب را به صورت قسمتی از یکنیم که نشان می‌دهد که شاعع آن در هر لحظه تغییر می‌کند. در این فرایند شاعع لحظه‌ی کره از بنی‌نهایت تا شاعع حفره‌ی قالب کاهش می‌یابد و در لحظه‌ی آخر ناگهان کل سطح ورق به حفره می‌چسبد؛ لذا اصطکاکی بین ورق و حفره‌ی قالب وجود ندارد. مشخصات قطعه و فرایند لازم برای شکل دهنی یک قطعه‌ی نیم‌کروی در جدول ۱ آورده شده است. معادله‌ی کره در مختصات استوانه‌ی چنین بیان می‌شود:

$$f(r, \theta, z) = r^2 + z^2 - \rho^2 = 0 \quad (18)$$

در ادامه، مقایسه‌ی نتایج به دست آمده در تخمین فشار سیال و ضخامت ورق در مرکز حفره‌ی قالب با روش کران بالا را با نتایج تجربی نشان می‌دهد.^[۲] لازم به ذکر است که تخمین فشار در فرایند شکل دهنی هیدرولیکی در شرایط مختلف برای جریان ورق به درون حفره‌ی قالب است، که معادلات آن فقط برای یک قطعه‌ی نیم‌کروی به دست آمده است و این معادلات عمومی نیستند.

نمودار ۱ میزان فشار سیال مورد نیاز در فرایند را برای حالتی که به قطعه‌ی خام اجازه سیلان داده شده است، نشان می‌دهد. اثر کارستخی باعث افزایش فشار سیال مورد نیاز می‌شود اما، از طرف دیگر سطح زیر ورق‌گیر در حال کم شدن است که این مسئله باعث کاهش انرژی مصرفی زیر ورق‌گیر و درنتیجه کاهش فشار سیال مورد نیاز با توجه به این پارامتر می‌شود. مشابه آنچه در فرایند کشش عمیق مطرح است، در اینجا نیز در ابتدای فرایند اثر کارستخی بیشتر است و لذا فشار سیال



شکل ۶. شماتیک کلی قالب و ورق تغییر شکل یافته برای یک قطعه‌ی نیم کروی در شکل دهنی هیدرولیکی تک ورق.

به دست می‌آید. حال می‌توان نرخ انرژی مصرفی ناشی از اتساع را به دست آورد.

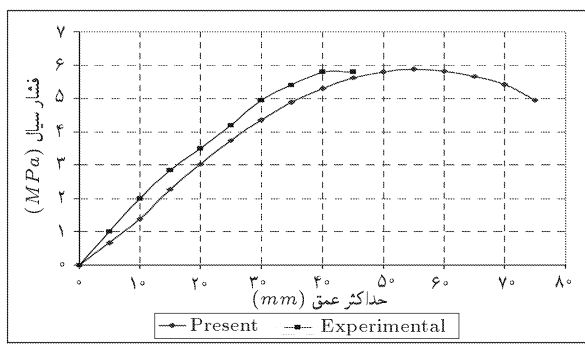
اما با توجه به طبیعت فرایندها، یک فرایند بهگونه‌یی انجام می‌شود که انرژی مصرفی کمینه شود. برای بهینه‌سازی انرژی لازم است از یک الگوریتم بهینه‌سازی استفاده کنیم. پارامترهای بهینه‌سازی در اینجا عبارت‌اند از ρ ، R ، θ که بهینه‌سازی روی آنها چنان انجام می‌شود که انرژی مصرفی (سمت راست نامعادله‌ی Ψ) کمینه شود. با استفاده از مقادیر به دست آمده برای پارامترهای بهینه‌سازی به کمک رابطه‌ی ۱۳ می‌توان فشار سیال را به دست آورد.

در حل معادلات، برای مشتق‌گیری عددی (به دست آوردن میدان نرخ کوتشن از میدان سرعت) از روش مشتق‌گیری جزئی و برای انتگرال‌گیری از روش گاووس-لذاندر چهار نقطه‌یی استفاده می‌شود.^[۴] همچنین کمینه‌سازی انرژی کل مصرفی با روش بهینه‌سازی Nelder-Mead و

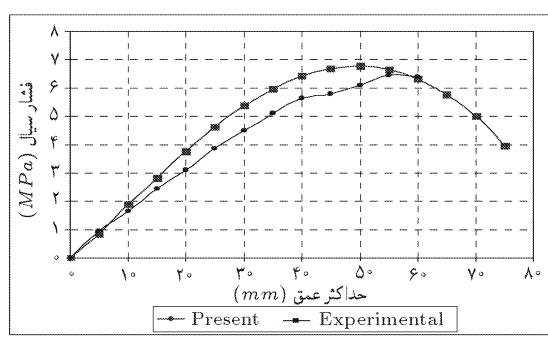
با در نظر گرفتن سه پارامتر آزاد صورت می‌گیرد.^[۵]

باتوجه‌اراین الگوریتم حل در چند مرحله‌ی تابعه‌ی فرایند، می‌توان میزان فشار مورد نیاز سیال در کل فرایند شکل دهنی هیدرولیکی جفت ورق بدون درز جوش را برای کلیه قطعاتی که بتوان هندسه‌ی لحظه‌ی ورق تغییر شکل یافته را با رابطه‌ی تحلیلی نمایش داد و نمودار تغییرات فشار سیال را براساس کورس و زمان تعیین کرد.

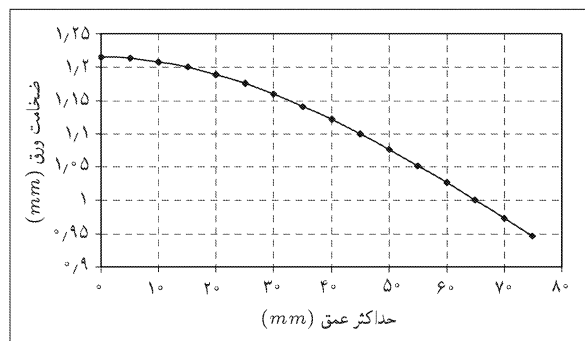
تخمین فشار سیال برای شکل دهنی قطعه‌ی نیم‌کروی برای تأیید معادلات به دست آمده، این معادلات را به منظور تخمین فشار در فرایند شکل دهنی هیدرولیکی تک ورق به کار می‌گیریم. مسئله‌یی که باید به آن اشاره کرد این است که تفاوت شکل دهنی هیدرولیکی تک ورق با شکل دهنی هیدرولیکی جفت ورق برای تخمین فشار سیال در این است که شکل دهنی هیدرولیکی تک ورق لازم نیست انرژی فرایند (سمت راست نامعادله‌ی Ψ) و حجم سیال (در رابطه‌ی Ψ)، برای در نظر گرفتن جفت ورق و دو حفره‌ی قالب، دو برابر شود. ولی در اینجا برخلاف شکل دهنی هیدرولیکی جفت ورق دو سطح اصطکاکی در زیر و روی ورق با سطح ورق‌گیر در تماس‌اند. که این مسئله باعث دو برابر شدن اصطکاک می‌شود. این دو مسئله باید در محاسبات فشار مدنظر قرار گیرد. همچنین در شکل دهنی هیدرولیکی جفت ورق، از آنجا که اصطکاک بین ورق و قالب به دلیل توانایی انجام کار روی سطح قالب معمولاً کم تراز اصطکاک ورق با ورق است، با توجه به میزان حرکت نسبی بین دو ورق، انرژی اصطکاکی به دست آمده ممکن است کمتریا بیشتر از چیزی باشد که برای شکل دهنی هیدرولیکی تک ورق به دست آورده‌ی فرایندهای شکل دهنی هیدرولیکی جفت ورق با درز جوش در تخمین فشار سیال بسیار شبیه به فرایندهای شکل دهنی هیدرولیکی جفت ورق



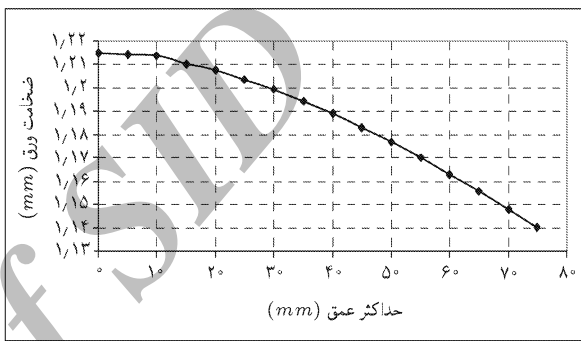
نمودار ۳. مقایسه‌ی فشار موردنیاز سیال برای شکل‌دهی قطعه‌ی نیم‌کروی در شرایطی که اجزا‌هی سیلان به قطعه‌ی خام داده نشده است.^[۲]



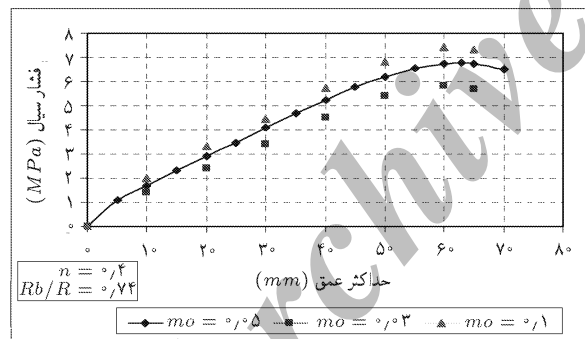
نمودار ۱. مقایسه‌ی فشار موردنیاز سیال جهت شکل‌دهی قطعه‌ی نیم‌کروی در شرایطی که اجزا‌هی سیلان به قطعه‌ی خام داده شده است.^[۲]



نمودار ۴. ضخامت مرکز ورق نیم‌کروی تغییر شکل‌یافته در شرایطی که اجزا‌هی سیلان به قطعه‌ی خام داده نشده است (کار حاضرا).



نمودار ۲. ضخامت مرکز ورق نیم‌کروی تغییر شکل‌یافته در شرایطی که اجزا‌هی سیلان به قطعه‌ی خام داده شده است (کار حاضرا).



نمودار ۵. اثر ضریب اصطکاک بر فشار موردنیاز سیال (کار حاضرا).

نمودارهای ۵ تا ۷ اثر پارامترهای اصطکاک، ابعاد قطعه‌ی خام، و توان کارسختی را بر فشار سیال نشان می‌دهند. نمودار ۵ نشان می‌دهد که با افزایش ضریب اصطکاک، فشار موردنیاز سیال افزایش می‌یابد.

موردنیاز افزایش می‌یابد اما با پیشرفت فرایند اثرات این دو پارامتر به تعادل رسیده و در نهایت اثر کاهش سطح مقطع زیر ورق گیر غلبه کرده و فشار موردنیاز رو به کاهش می‌گذارد.

نمودار ۲ ضخامت مرکز ورق تغییر شکل‌یافته‌ی نیم‌کروی در طول فرایند را نشان می‌دهد. واضح است که با پیشرفت فرایند ضخامت ورق کاهش می‌یابد. می‌توان از مشخصات کششی ورق به عنوان ملاکی برای تعیین پارگی ورق استفاده کرد.

نمودارهای ۳ و ۴ به ترتیب نشانگر فشار سیال و ضخامت مرکز قطعه‌ی نیم‌کروی در شرایطی است که اجزا‌هی سیلان به ورق داده نشده است (اتساع). چنان‌که مشاهده می‌شود با اجازه ندادن به سیلان ورق به علت حذف انرژی مصرفی در ناحیه‌ی بال میزان فشار سیال کاهش می‌یابد اما میزان عمق قابل دست‌یابی با توجه به کاهش ضخامت ناشی از اتساع ورق کمتر می‌شود.

جدول ۱. مشخصات قطعه و فرایند برای شکل‌دهی یک قطعه‌ی نیم‌کروی.

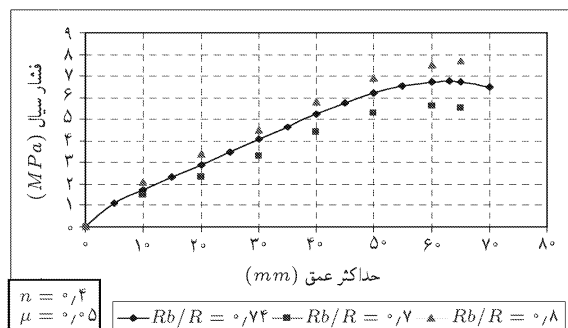
Q	دبی سیال ورودی به حفره قالب (mm ³ /s)	t	ضخامت ورق μ (mm)	ضریب اصطکاک μ		Rb (mm)	شعاع قطعه‌ی خام (mm)	R (mm)	شعاع نیم‌کره (mm)	تنش معادل (MPa)
				ورق با ورق	ورق با ورق‌گیر					
۴۰۰۰		۱/۲۱۵	۰/۱	۰/۰۵	۰/۰۵	۱۲۰	۸۹	۷۵۰۶۰/۴		

تغییر شکل یافته در ناحیه حفره‌ی قالب با معادلات تحلیلی است، که با داشتن این معادله در هر لحظه از فرایند می‌توان میدان سرعت در ناحیه‌ی بال و نیز میزان اتساع در حفره‌ی قالب را تخمین زد. شکل نیم‌کره تقریب نسبتاً خوبی برای برازش هندسه‌ی لحظه‌یی ورق تغییر شکل یافته در ناحیه‌ی حفره‌ی قالب، برای تولید قطعات کروی و نیز کلیه‌ی قطعاتی که در آنها دهانه‌ی ورودی قالب به صورت دایره است.

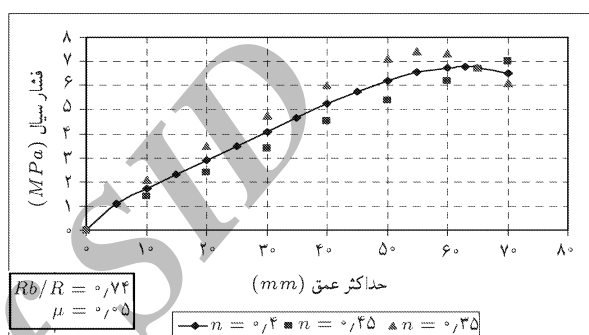
معادلات مطرح شده برای تخمین فشار سیال در مورد تمامی

قطعاتی که بتوان هندسه‌ی لحظه‌یی ورق در حین تغییر شکل را به صورت تحلیلی بیان کرد، کاربرد دارد. این معادلات برای تخمین فشار در فرایند شکل دهنده هیدرولیکی تکورق به شکل نیم‌کره به کار گرفته شد. نتایج بدست آمده اختلاف قابل قبولی را با نتایج تجربی نشان می‌دهند، که با حذف فرض‌های ساده‌گذرنده می‌توان به جواب‌های دقیق‌تر دست یافت. هنگامی که اجازه‌ی سیلان به ورق داده شده است، به علت تأثیر روابط تحلیل کران بالا، مقدار فشار تخمینی بیشتر از مقدار تجربی به دست می‌آید. ولی در شرایطی که به ورق اجازه‌ی سیلان داده نشده است، میدان سرعت حذف شده و صرفاً اتساع در حفره‌ی قالب وجود دارد؛ بنابراین میزان فشار حاصله کمتر از مقادیر تجربی بدست می‌آید.

با افزیش ضریب اصطکاک، میزان فشار مورد نیاز سیال برای شکل دهنده افزیش می‌یابد، لذا با انجام عملیات سطحی می‌توان به فشار سیال کمتری نیاز پیدا کرد. از سوی دیگر، با افزیش نمای کار سختی میزان فشار مورد نیاز سیال کمتر شده و نقطعی بیشینه‌ی منحنی فشار به سمت راست کشیده می‌شود، که این مسئله با این واقعیت که فلزات آنل شده نیاز به فشار کمتری برای شکل دهنده دارند، تطابق دارد. در مورد ابعاد قطعه‌ی خام نیز مشابه فرایند کشش عمیق، افزیش ابعاد قطعه‌ی خام باعث افزایش اصطکاک ناحیه‌ی بال و نیز کاراییه‌ی ال تغییر شکل ناحیه‌ی بال می‌شود، لذا فشار هوردن نیاز سیال برای شکل دهنده افزایش می‌یابد.



نمودار ۶. اثر ابعاد قطعه‌ی خام بر فشار مورد نیاز سیال (کار حاضر).



نمودار 7. اثر قوان کارسختی بر فشار مورد نیاز سیال (کار حاضر).

همچنین با افزایش ابعاد قطعه‌ی خام به دلیل افزایش سطح بال و در نتیجه افزایش انرژی مصرفی در این ناحیه، فشار سیال نیز افزایش می‌یابد، این مسئله در نمودار ۶ نشان داده شده است. چنان که در نمودار ۷ آمده است مواد با داکتیلیته‌ی بالاتر به فشار کمتری برای شکل دهنده نیاز دارند.

نتیجه‌گیری

مسئله‌ی اساسی برای تخمین فشار سیال در فرایند شکل دهنده هیدرولیکی جفت‌ورق و تکورق با روش کران بالا، برازش هندسه‌ی لحظه‌یی ورق

پانوشت

1. blank
2. upper bound

منابع

1. Shin, Y.S., Kim, H.Y., Jeon, B.H., Oh. S.I., "Prototype Tryout and Die Design for Automotive Parts Using Welded Blank Hydroforming", *Journal of Material Processing Technology*, **130-131**, PP. 121-127 (2002).
2. Thiruvarudchelvan, S., Lewis, W., "A Note on

"Hydroforming with Constant Fluid Pressure", *Journal of Material Processing Technology*, **88**, PP. 51-56 (1999).

3. Hein, P., Vollertsen, F., "Hydroforming of Sheet Metal Pairs", *Journal of Material Processing Technology*, **87**, PP. 154-164, (1999).
4. Shang, H.M., Qin, S., Tay, C.J., "Hydroforming Sheet Metal with Intermittent Changes in the Draw-in Condition of Flange", *Journal of Material Processing Technology*, **63**, PP. 72-76 (1997).

5. Noh, T.S., Yang, D.Y., "A General Formulation for Hydroforming of Arbitrarily Shaped Boxes and Its Application to Hydroforming of an Elliptic-Circular Box", *Journal of Manufacturing Science and Engineering*, **120**, PP. 481-488 (1998).
6. Assempour, A., Bagherzadeh, M., Emami, M.R., "An Upper Bound Approach for analysis of Hydroforming of sheet metals", *International Journal of Engineering*, **17**(4), Tr. B (2004).
7. Hill, R., "The Mathematical Theorem of Plasticity", Oxford Clarendon Press, PP. 67-68 (1950).
8. Mathews, J.H., "Numerical Methods for Computer Science, Engineering, and Mathematics", Prentice-Hall, INC. (1987).

Archive of SID